

Ni_xSe_x



V 1648

1887

Fabre

Ann. Chim. phys., 1887, 10, 472

HgSe, CuSe, Cu₂Se, NiBr₂, NiBr₂·3H₂O, NiSe,
CoBr₂, CoSe, CoTe (▲ Hf)

FeSe } Hf
MnSe }

MnBr₃ ▲ Haq

B

E C T L A K.

A-512

1957

CrS, CrSe, CrTe, CrAs, CrSb (Ttr)
MnS, MnSe, MnTe, MnAs, MnSb
FeS, FeSe, FeTe, FeAs, FeSb
CoS, CoSe, CoTe, CoAs, CoSb
Ni₃S, NiSe, NiTe, NiAs, NiSb

Lotgering F.K., Gorter E.W.

Phys. and Chem. Solids, 1957, 3, N 3-4, 238-49

Solid solutions between ferromagnetic and antiferromagnetic compounds with NiAs structure.

PJX, 1958, 76555

Be.

ЕСТЬ Фст.к.

A-479

1958

MnJ₂, FeJ₂, CoJ₂, NiJ₂, CuJ₂,

ZnJ₂, MnO, FeO, CoO, NiO, CuO, ZnO, MnCO₃, CoCO₃,

NiCO₃, CuCO₃, ZnCO₃, MnSO₄, FeSO₄, CoSO₄, NiSO₄,

CuSO₄, ZnSO₄, MnS, FeS, CoS, NiS, CuS, ZnS, MnSe,

FeSe, CoSe, NiSe, CuSe, ZnSe). Est/F.

Душарский К.Б.

Ил. № 479. Химия, 1958, 3, № 0, 2244-2252

RX., 1959, 26376

M,

Б.О.Т.Б. №. 479

BP - VI - 598

1960

NiSe

ЗБ375. Низкотемпературные теплоемкости и термодинамические свойства фазы Ni_{1-x}Se . Gronvold Fredrik, Thurmann-Moe Torkild, Westrum Edgar, Jr, Levitin Norman F. Low temperature heat capacities and thermodynamic properties of the Ni_{1-x}Se -phase. «Acta chem. scand.», 1960, 14, № 3, 634—640 (англ.). — В вакуумном адиабатич. калориметре определены теплоемкости (c_p) $\text{Ni}_{0,950}\text{Se}$ (I), $\text{Ni}_{0,875}\text{Se}$ (II) и $\text{Ni}_{0,800}\text{Se}$ (III). Образцы I—III приготовлены из Ni и Se высокой чистоты (обнаружение кол-во примесей $< 3 \cdot 10^{-2}$ и $< 2 \cdot 10^{-3}\%$ соответственно). c_p , $S^0 - S_0^0$ и $(H^0 - H_0^0) / T$, рассчитанные на

см. н/з

х.1961.3

1 моль в-ва, табулированы в интервале 5—350°К (шаг 5—10°) и при 298,15°К и соответственно равны: для I 6,154; 8,754 и 4,2801; II 6,133; 8,608 и 4,2224; III 6,037; 8,506 и 4,1826 кал/мольград. Аномалии в кривых $c_p - T$ в исследованном интервале т-р не обнаружены, но отмечено, что выше 250°К c_p II и III возрастает быстрее, чем c_p I, что, возможно, связано с началом превращения в твердой фазе. Уменьшение c_p при увеличении мольной доли Se указывает на неприменимость правила Неймана—Коппа. (c_p Se выше, чем c_p , Ni). Из эксперим. данных следует также, что отклонения от аддитивности c_p наблюдаются и на узких по составу участках в области гомогенности фазы Ni_{1-x}Se .

В. Колесов

Ni_xSe_x

Кузнецов В.Г. и др. 1961

Бюл. металургии и горн.
науки и технологии
и., Азбесер, 1961, 159

(с. Ni_xSe_x) I

Ni₃Se₂

Groenvold F., Westrum Jr.¹⁹⁶²

Cp
Tpd. q. Heat capacities and thermodynamic functions of iron disulfide (pyrite), iron diselenide, and nickel diselenide from 5 to 350°K. Estimation of standard entropies of transition metal chalcogenides.

(all FeS₂) I

c.a. 1962,

57.8

9295_g J. Inorg. Chem. 1, 36-48 (1962)

Ni₂Se²

Ni₂Se

Ni₂Se₃

ΔH_f(paquet),

ΔH_p-grec
généraux,
sociale.

Moody G.J.,
Thomas J.D.R.

J. Chem. Soc.,

1969, au p., 1977

(Cll. Se₂O)_I

1964

Ni₃Se₂

Rither T.A. et al. 1966
Solid-State Commun.,
4, N 10, 533

Небольшое двухвалентное
переходное металлическое
изделие, полученное при восстановлении
загрязненности.



(All. Cu₂S₂) I

Ni₆Se₅

XVI - 3907 }

1966

Krueger
Canyon.

Bronvold F., Mol-
lerund R., ~~lost~~ 8.
Acta chem. Scand.
1966, 20, N7, 1997 -
98.

Ni₃Se₂

1966

4 Б263. О новом селениде никеля Ni₃Se₂. Rouché
Jean-Pierre, Lecocq Pierre. Sur un nouveau
séléniure de nickel Ni₃Se₂. «C. r. Acad. sci.», 1966, C262,
№ 7, 555—556 (франц.)

Рентгенографически (метод порошка λ Cu-K_a) ис-
следовано новое соединение Ni₃Se₂, полученное диффу-
зией в тв. состоянии при 550°. Параметры ромбоэдрич.
решетки: a 4,240, α 90° 43', ρ (выч.) 7,25, ρ (эксп.)
7,33, ф. гр. R 32. Координаты атомов, установленные
методом проб, Se в 2(c) Ni в 3(e) при единственном
параметре структуры $x=1/4$. Приведены значения J и
 d рентгенограммы порошка. Отмечено, что ранее описан-
ная фаза Ni₂Se в действительности имеет состав
Ni₃Se₂.

З. Пудовкина

x. 1967. 4

PtAs₂, OsAs₂, RuSe₂, OsSe₂(Ko, SK, S, dK) 1962

CoSe₂, NiSe₂, RhSe₂ (dKf) 81 4818

Murray J.J., McElderry R.D.

Canad. J. Chem., 1967, 45, N22, 2675-2687 (austr.)

Decomposition pressures and enthalpies of
formation of some transition metal
disulfides and diselenides.

Polymer, 1968

18 6746

M (②) 12

VI-4849

1968

Ni₃Se₂T_h

55069j) Phase transitions in the nickel selenide Ni₃Se₂ and related phases. Stevels, A. L. N.; Bouwma, J.; Wiegers, G.
A.: Jellinek, F. (Rijksuniv., Groningen, Neth.). Rec. Trav. Chim. Pays-Bas 1968, 87(7), 705-8 (Eng). The thermal behavior of Ni₃Se₂ has been studied by D.T.A. and by high-temp. x-ray diffraction. Ni₃Se₂ is rhombohedral at low temp. and face-centered cubic at high temps. The transition between the 2 forms shows a strong thermal hysteresis. When heating, the transition occurs at ~600°. On cooling, the face-centered cubic form is transformed to a metastable body-centered tetragonal form at ~560°; this form converts itself to the stable rhombohedral form at 550-510° (depending on the cooling rate). The metastable form is stabilized if the metal is partly replaced by Co or Fe, or if part of the Se is replaced by Te. A corresponding metastable form of Ni₃S₂ could not be detected. The various modifications observed for Ni₃S₂, Ni₃Se₂, Ni₃(Se_{1.6},Te_{0.4}), and Ni₃Te are compared.

RCFF

C.A. 1968. 69. 14

VI - 4849

1968

 Ni_3Se_2

4 Б922. Фазовые переходы в селениде никеля Ni_3Se_2 и родственных фазах. Stevels A. L. N., Bouwma J., Wiegers G. A., Jellinek F. Phase transitions in the nickel selenide Ni_3Se_2 and related phases. «Recueil trav. chim.», 1968, 87, № 7, 705—708 (англ.)

Рентгенографически (дифрактометрич. и метод порошка), а также методом ДТА исследованы фазовые переходы в Ni_3Se_2 (I) и родственных фазах. Установлено, что I является ромбоэдрич. (a 4,241 Å, α 90°39') при низких (<600°) и кубич. гранецентр. (a 5,423 Å) при высоких т-рах (>600°). Переход между двумя формами обнаруживает сильный гистерезис. При обратном изменении т-ры (охлаждение) кубич. фаза сначала переходит в метастабильную объемноцентр. тетрагон. форму (560°, a 7,289, c 11,568 Å), к-рая <510° превращается в

 T_c X. 1969.4

низкот-рную ромбоэдрич. Все типы превращений относятся к переходам I рода. Тетрагон. фаза может быть стабилизирована путем частичного замещения Ni на Co или Fe, а также Se на Te. В последнем случае фаза $Ni_3(Se_{1,6}Te_{0,4})$ также обнаруживает термич. гистерезис, связанный с образованием промежуточной тетрагон. фазы со структурой типа дефектного Cu_2Sb . Проведено сравнение термич. поведения I, Ni_3S и Ni_3Te . Отмечено отсутствие промежуточных метастабильных форм у Ni_3S .

Н. Г. Шумяцкая

VI-4849

1863

Ni₃Se₂

→ 2 E475. Фазовые превращения селенида никеля Ni₃Se₂ и родственных соединений. Stevels A. L. N., Bouwma J., Wiegers G. A., Jellinek F. Phase transitions in the nickel selenide Ni₃Se₂ and related phases. «Recueil trav. chim.», 1968, 87, № 7, 705—708 (англ.)

T_C

Методом диффер. термич. и высокотемпературного рентгеноструктурного анализов показано превращение ромбоэдрич. решетки Ni₃Se₂ в ГЦК-решетку при нагреве. Фазовый переход отличается большим температурным гистерезисом. При нагреве превращение происходит вблизи 600° С. При охлаждении вблизи 560° С образуется метастабильная ОЦ-тетрагональная модификация, пере-

09.1969

22

ходящая в стабильную ромбоэдрич. при т-рах 550—510° С (в зависимости от скорости охлаждения). Метастабильная фаза может быть стабилизирована частичным замещением Ni на Co или Fe, а также заменой части Se на Te. Для соединения Ni_3S_2 метастабильная форма не обнаружена. Приведены данные о различных модификациях Ni_3S_2 , Ni_3Te_2 и $Ni_3Se_2Ni_3(Se_{1,6}Te_{0,4})$. Библ. 12.

А. И. Горин

1969

Ni Sex
Ni Tex

Cambi h u gr.

Chim. e ind., 1969,

51, N8, 795

nepuccer.
polat.

(Cu. FeS_x) I

1969

Ni - Se

Ni - Fe

T_{tz}

+

ф. 1970 . 8 3

8 Е380. Фазовые превращения в селенидах и теллуридах никеля и меди. Stevels A. L. N. Phase transitions in nickel and copper selenides and tellurides. «Philips Res. Repts», 1969, 24, Suppl. № 9, 124 pp., ill. (англ.)

Методами высокотемпературной рентгенографии, дифференциального термич. анализа, измерений намагниченности и электропроводности исследованы двойные соединения типа $Ni_{3\pm x}Te_2$ с избытком металла в системах Ni—Se, Ni—Te, Cu—Se и Cu—Te, а также некоторые тройные соединения в системах Ni—Fe—Te, Ni—Co—Te, Ni—Se—Te и Cu—Ni—Te. Приведена система халькогенидов Fe, Co, Ni, Cu и Ag с избытком металла и рассмотрена их стереохимия. Установлены

+1

R1

структурные соотношения между высокотемпературными ГЦК-модификациями с разупорядоченным распределением атомов металла и низкотемпературными упорядоченными фазами. Переходы порядок — беспорядок в $\text{Ni}_{3\pm x}\text{Te}_2$ и $\text{Cu}_{3-x}\text{Te}_2$ анализируются на основе термодинамич. теории фазовых переходов второго рода Ландау.

Б. Г. Алапин

Ni Se
1-X

ВФ-VI-7416

1970

24 Б639. Теплоемкость и термодинамические свойства Ni_{1-x}Se -фазы при 298—1050° К. Gronvold Fredrik. Heat capacities and thermodynamic properties of the Ni_{1-x}Se -phase from 298 to 1050° K. «Acta chem. scand.», 1970, 24, № 3, 1036—1050 (англ.)

В адиабатич. калориметре с регулируемым обогревом при 298—1050° К измерены теплоемкости селенидов никеля состава: $\text{Ni}_{19}\text{Se}_{20}$, Ni_7Se_8 и Ni_4Se_5 . Образцы представляли собой Ni_{1-x}Se -фазу, имеющую структуру типа NiAs с изменяющимся числом вакансий металла. Для соединения $\text{Ni}_{19}\text{Se}_{20}$ наблюдалось плавное увеличение теплоемкости до 1050° К с отсутствием превращений. Приращения энтропии и энталпии ($X_{1000}^0 - X_{298}^0$) составили 34,83 дж/° К и 20,64 кдж на 1/39 моль $\text{Ni}_{19}\text{Se}_{20}$, соотв. Для соединения Ni_7Se_8 обнаружено превращение λ -типа с макс. значением теплоемкости при 503° К. Соответствующее

Gp
Термоэл.
cb - л.

X · 1980 · 24

приращение энтропии составило $0,98 \text{ дж/}^\circ\text{К}$ на $1/15$ моль Ni_7Se_8 и обусловлено разупорядочением вакансий в слоях никеля, параллельных плоскости 001. Полное приращение энтропии и энтальпии в интервале $298\text{--}1000^\circ\text{К}$ составило, соотв., $35,83 \text{ дж/}^\circ\text{К}$ и $21,25 \text{ кдж}$ на $1/15$ моль Ni_7Se_8 . Для соединения Ni_4Se_5 обнаружено два превращения λ -типа с максим. значениями теплоемкости при 589 и 995°К и соотв-щими приращениями энтропии $0,47$ и $0,13 \text{ дж/}^\circ\text{К}$ на $1/9$ моль Ni_4Se_5 . Оба превращения связаны с разупорядочением вакансий в слоях : металла. Увеличение энтропии и энтальпии в интервале : $298\text{--}1000^\circ\text{К}$ с учетом этих превращений составило $35,65 \text{ дж/}^\circ\text{К}$ и $21,3 \text{ кдж}$ на $1/9$ моль Ni_2Se_5 , соответственно.

Резюме

Ni_mSe_n

Cp	2416
ΔH	+ 2416
ΔS	- VI - 2416
B9P	

C.H.1970.73.8

(39425z) Heat capacities and thermodynamic properties of the Ni_{1-x}Se-phase from 298 to 1050°K. Groenvold, Fredrik (Kjemisk Inst. A, Univ. Oslo, Oslo, Norway). *Acta Chem. Scand.* 1970, 24(3), 1036-50 (Eng). Heat capacities of Ni selenides with compositions Ni₁₉Se₂₀, Ni₇Se₈, and Ni₄Se₅ have been measured at 298-1050°K by adiabatic shield calorimetry with intermittent heating and temp. equilibration between inputs. The samples represent the Ni_{1-x}Se-phase with NiAs-like structures and a varying no. of metal vacancies. Ni₁₉Se₂₀ is without transitions and shows a regularly increasing heat capacity up to 1050°K. The entropy and enthalpy increments ($X_{1000}^{\circ} - X_{298}$) are 34.83 J °K⁻¹ and 20.64 kJ for 1/39 mole Ni₁₉Se₂₀. For Ni₇Se₈ a λ-type transition occurs with max. heat capacity at 503°K. The assocd. entropy increment is 0.96 J °K⁻¹ for 1/15 mole Ni₇Se₈ and related to the disorder of vacancies within every other Ni layer parallel to 001. The entropy and enthalpy increments between 298 and 1000°K, including those of the transition, are 35.83 J °K⁻¹ and 21.25 kJ for 1/15 mole Ni₇Se₈. For Ni₄Se₅ 2 λ-type transitions are observed with max. at 589 and 995°K and entropy increments of 0.47 and 0.13 J °K⁻¹ per 1/9 mole Ni₄Se₅, resp. Both transitions are probably related to the disorder of vacancies within every other metal layer. The entropy and enthalpy increments between 298 and 1000°K, including those of the transitions, are 35.65 J °K⁻¹ and 21.30 kJ for 1/9 mole Ni₄Se₅.

RCMW

NiSe₂

VI-7882

1971

116749h² Determination of the Gibbs free energy of formation
of nickel selenide, NiSe₂. Cerclier, Olivier; Lassitte, Marc

(Lab. Chim. Gen., Univ. Provence, Marseilles, Fr.). C. R.
Acad. Sci., Ser. C 1971, 272(9), 819-20 (Fr). The free energy
of formation of NiSe₂ (Ni(s) + 2Se(l) → NiSe₂(s)), varying from
 $\Delta G = -14.7$ to -15.1 kcal/mole, resp., at 400 and 600°, was
detd. from emf. measurements, by using the electrochem. cell
Ni(s), NiCl₂(s)|BaCl₂|NiCl₂(s), NiSe₂(s) + Se(l). DWJF

ΔG

C.A. 1971 44.22

NiSe₂

II - 7882

1971

17 Б705. Определение свободной энергии образования NiSe₂. Cerclier Olivier, Laffitte Marc.
Détermination de l'enthalpie libre de formation de NiSe₂.
«C. r. Acad. sci.», 1971, C272, № 9, 819—820 (франц.)

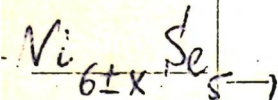
Из результатов измерений э. д. с. цепи Ni (тв.), NiCl₂ (тв.)|BaCl₂ (тв.)|NiCl₂ (тв.), NiSe₂ (тв.), Se (жидк.) в интервале т-р 400—600° для р-ши Ni (тв.) + Se(жидк.) = NiSe₂ (тв.) вычислена свободная энергия образования NiSe₂, которая в указанном интервале т-р изменяется от —14,7 до —15,1 ± 0,2 ккал/моль, а также энтропия и энтальпия р-ции, равные соотв. 1,8 ± 0,5 э. е. и —13,5 ± 3,0 ккал/моль.

Л. Гузей

ΔG_f

X. 1981. 18

1971



11 Б483. Кристаллическая структура $\text{Ni}_{6 \pm x}\text{Se}_5$. Røst
 Røst, Haugsten Kjell. The crystal structure of
 $\text{Ni}_{6 \pm x}\text{Se}_5$. «Acta chem. scand.», 1971, 25, № 8, 3194—3196
 (англ.)

Проведено рентгенографич. исследование кристаллов
 высокот-рной модификации $\text{Ni}_{6 \pm x}\text{Se}_5$ (метод Вейсенбер-
 га, λ Mo, 360 отражений, МНК до $R=0,088$). Параметры
 ромбич. решетки: a 3,437, b 111,86, c 17,06А, ф. гр. *Cтmm*.
 Кристаллы имеют сверхструктуру, но дополнительные от-

Справки Ура

X.1972.11

ражения весьма слабы и не учитывались. При расчетах было принято, что две позиции атома Ni заняты на 50%. Кристаллы содержат атомы Ni в четырех различных позициях. Атомы $Ni_{(1)}$ и $Ni_{(2)}$ имеют тетрагонально-пирамидальную координацию, КЧ 5 (расстояния Ni—Se 2,39—2,51 Å), атом $Ni_{(3)}$ расположен в центре тетраэдра (Ni—Se 2,29, 2,33 Å), атомы $Ni_{(4)}$ распределены в октаэдрич. пустотах (Ni—Se 2,04—2,49). Получены кристаллы с более ярко выраженной сверхструктурой. П. И. Лазарев

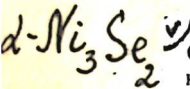
NixSey BP-XVI-892 1972
Groenvold, F.

(ΔH_f) "Acta Chem. Scand."
1972, 26, N5, 2085-99.

(eu.FexSey,I)

1972.

Р99 - Х111 - 1057



8 Б860. Системы переходный металл — халькоген. Сообщение 2. Системы никель—седен и кобальт—никель—селен. Komarek K. L., Wessel K. Die Systeme Nickel—Selen und Kobalt—Nickel—Selen. Übergangsmetall—Chalkogensysteme, 2. Mitt. «Monatsh. Chem.» 1972, 103, № 4, 923—933 (нем.; рез. англ.)

Методами ДТА и рентгенофазового анализа изучены системы Ni (I) — Se (II) и Co (III) — I—II. По результатам исследования фаз с содержанием II свыше 40 ат. % и лит. данным построена фазовая диаграмма системы I—II. В системе обнаружено существование четырех соединений $\alpha\text{-Ni}_3\text{Se}_2$ ($\alpha\text{-IV}$), Ni_6Se_5 (V), Ni_{1-x}Se (VI) и NiSe_2 (VII). Установлено, что ромбоэдрич. фаза $\alpha\text{-IV}$ ($a=4,233 \text{ \AA}$, $\alpha=90^\circ 41'$) при 585° превращается в $\beta\text{-IV}$, к-рый плавится инконгруэнтио при 785° . Эвтектика между $\beta\text{-IV}$ и I находится при 34 ат. % II и 750° . Ромбич. V разлагается перитектически на $\beta\text{-IV}$ и VI при $647,5^\circ$. Максимум на кривой ликвидуса для фазы VI расположен при 959° и 53,5 ат. % II. Область гомогенности VI ограничена областью 50,5 ат. % II (785°) — 56,8 ат. % II

$$(T_{tr}; T_m)$$

X. 1973. N8.

(856°). Гексагон. VI с увеличением содержания II переходит в монокл. VI ($a=6,206$ Å, $b=3,636$ Å, $c=2 \times 5,230$ Å и $\beta=99,76^\circ$). При т-рах выше 856° и содержании II от 58 до ≈ 100 ат.% в системе происходит расслаивание в жидк. фазе. При 853° VII разлагается. Соединение VII принадлежит к кубич. сингонии, $a=5,959$ Å. В системе I—II—III изучены три разреза. В квазибинарных разрезах VI— Co_{1-x}Se и VII— CoSe_2 обнаружена полная смешиваемость как в жидк., так и в тв. состоянии. Т-ры ликвидуса и солидуса непрерывно поникаются с уменьшением содержания III. Показано, что для фазы $(\text{Co}_{1-y}\text{Ni}_y)\text{Se}_2$ существует линейная зависимость между y и параметром решетки a . Фаза $(\text{Co}_{1-y}\text{Ni}_y)_{11}\text{Se}_8$ (VIII) устойчива, в пределах $0,9 > y > 0,5$. Исследование фаз типа VIII с y , равным 0,1; 0,5; 0,7 и 0,9, указывает на их двухфазный характер. Сообщ. I см. пред. реферат.

Л. Д. Исхакова

1973

 $NiSe_{0,67}$ $NiSe_x$

7 Б773 Деп. Энтальпия образования селенидов никеля. Морозова М. П., Владимира В. А., Столярова Т. А., Непомнящая В. И. (Редколлегия «Ж. физ. химии» АН СССР). М., 1973. 9 с., библиогр. 10 назв. (Рукопись деп. в ВИНИТИ 14 ноября 1973 г., № 7285-73Деп.).

В результате калориметрич. изучения р-ций образования селенидов никеля из металлич. никеля и селена, определены величины энтальпий образования $[-\Delta H^\circ(\text{обр.})]$ селенидов никеля $NiSe_{0,67}$ и $NiSe_{0,98}$, равные соотв. $14,3 \pm 0,3$ и $15,5 \pm 0,3$ ккал/г·форм. массы, а также определены величины энтальпий образования селенидов никеля состава $NiSe_{1+x}$, где x меняется от 0 до 0,33. Величина энтальпии образования $NiSe_2$ из определений теплот взаимодействия моноселенида никеля с селеном найдена равной $-\Delta H^\circ(\text{обр.}) = 27,6 \pm 0,6$ ккал/г·форм. массы.

Автореферат

 (ΔH_f)

2. 1974 N 7

NiSe_x

1973

8280c Enthalpies of formation of nickel selenides:
Vladimirova, V. A.; Nepomnyashchaya, V. I. (Leningr. Gos.
Univ. im. Zhdanova, Leningrad, USSR). *Sourem. Probl. Khim.*
1973, 12-13 (Russ). Edited by Komarov, E. V. Leningrad. Gos.
Univ.: Leningrad, USSR. The enthalpies of formation of the
nonstoichiometric selenides in the range Ni-NiSe_{1.00}-NiSe_{2.00} are
detd. calorimetrically. They are discussed in connection with the
Se-index and the Ni-Ni-interaction. M. Wiedemann

(a Hf)

C.A.1975.82 N2

Ni₂Se₂, NiSe_{0.67}

1974

82983g Enthalpy of formation of nickel selenides.
Morozova, M. P.; Vladimirova, V. A.; Stolyarova, T. A.; Nepomnyashchaya, V. I. (Leningr. Gos. Univ. im. Zhdanova, Leningrad, USSR). *Zh. Fiz. Khim.* 1974, 48(3), 769-70 (Russ). Addnl. data considered in abstracting and indexing are available from a source cited in the original document. The formation enthalpies, ΔH_f° , of Ni selenides were computed on the basis of the exptl. calorimetric data on formation of lower selenides by the reaction of the metallic Ni with Se and of higher selenides by the reaction of NiSe with Se. The homogeneity region of the Ni arsenide-type structure of β -NiSe was found by x-ray diffraction studies between NiSe_{1.04} and NiSe_{1.20} and that of the monoclinic β -phase between NiSe_{1.20} and NiSe_{1.30}. The values of $-\Delta H_f^\circ$ are 14.3 ± 0.3 for NiSe_{0.67}, 27.6 ± 0.6 for NiSe₂, and they change from (16.5 ± 0.3) to (21.0 ± 0.3) kcal/gram-formula wt. in the compn. series NiSe_{1.00}-NiSe_{1.00}-NiSe_{1.33}. L. Kuca

(4Hf)

C.A. 1974. 81. N14.

cuaca y Tepuyes 1944

Ni Se_{0.052}

Ni Se_{1.143} (n)

Ni Se_{1.25}

298-1050

298-1000

298-1050

M. J. C. 6a

Mills H. C.

Thermodyn. Data for Mono-
meric Sulfides, Selenides and
Tellurides. Part III.

London: Butterworths

1944

Ni Se₂



CIP. 469

Ni_{1-x}Se

Летние 3015

1974

6 Б1014. Термодинамические свойства сплавов никель — селен. Jelinek H., Komárek K. L. Thermo-dynamic properties of nickel—selenium alloys. «Monatsh. Chem.», 1974, 105, № 5, 917—933 (англ.)

Изопиестическим методом измерено давл. пара селена над сплавами системы Ni—Se в т-рном интервале 450—1000° в области составов с содержанием 45—66,6 ат.% Se. В системе Ni—Se существует конгруэнтно плавящаяся фаза Ni_{1-x}Se со структурой NiAs, имеющая область гомогенности в пределах 50,5—56,8 ат.% Se, а область между 56,8 и 67 ат.% Se является двухфазной ($Ni_{1-x}Se + NiSe_2$). Максим. т-ра плавления фазы Ni_{1-x}Se составляет 959° при содержании 53,58 ат.% Se. Активность Se в изученных фазах

(T_m)

x. 1975. 16

рассчитана тремя независимыми методами. Для расчетов термодинамич. величин фазы $Ni_{1-x}Se$ применена статистич. модель, предполагающая случайное распределение атомов металла и катионных вакансий в слое крист. решетки (001/2) с частичными катионными вакансиями. Наблюдается хорошее соответствие между расчетными и эксперим. данными. На основании данных высокот-рий калориметрии и постулирования постоянства энергии образования катионной вакансии во всей области гомогенности (независимо от конц-ии атомов Ni и Se) вычислена энергия взаимодействия между катионными вакансиями, равная 8600 кал/г-атом.

А. В. Салов

Ni₃Se

диспрасиев
сelenium

1974

(PSeO₂)

Pashin kin A. S.

Томадион

Tz. Khim Metall Inst.,
Akad Nauk Kaz SSR
1974, 25, 142-63 (Russ)



(an Zn_3SeO_3 ; I)

Ni₆Se₅

Структ

21 Б463. Сверхструктура Ni₆Se₅. Åkesson Gunnar, Rost Erling. A superstructure of Ni₆Se₅. «Acta chem. scand.», 1975, A 29, № 2, 236—240 (англ.)

1975

Проведено рентгенографич. исследование (методы Вейсенберга и дифрактометра, λ Cu, 1750 отражений, МНК, анизотропное приближение, $R=0,060$) кристаллов Ni₆Se₅, синтезированных взаимодействием элементов при т-ре 600°. Параметры ромбич. решетки: a 6,863, b 17,09, c 11,821 Å, ρ (выч.) 7,16, $Z=8$, ф. гр. $Pca2_1$. Все атомы структуры располагаются слоями, перпендикулярными оси a на уровнях по x около 1/8, 3/8, 5/8 и 7/8. При этом атомы Se образуют зигзагообразные цепи, параллельные плоскости bc : каждый атом Se находится в окружении 11—12 др. атомов Se на расстоянии 3,33—4,0 Å. Атомы Ni, располагающиеся в пустотах Se-подрешетки, характеризуются тремя типами координации:искаженной тетраэдрич. (Ni—Se 2,30—2,46 Å), октаэдрич. (Ni—Se 2,35—2,49 Å) и квадратно-пирамидальной (2,29—2,71 Å). В структуре имеются также короткие контакты Ni—Ni (2,50—2,78 Å). Часть кристаллографически независимых положений атомов Ni заселена не полностью и, поэтому имеется сверхрешетка (с вдвое большим параметром a), по сравнению с подъячкой при статистическом распределении Ni по всем положениям.

С. В. Соболева

x 1975 n21

Ni_{1-x}Se

1975

4 Б923. Разупорядочение вакансий в Ni_{1-x}Se . Теплоемкость и термодинамические свойства 10 образцов в области температур от 300 до примерно 750°К. Gronvold Fredrik, Kveseth Nils Jørgen, Sveen Arvid. Vacancy disorder in Ni_{1-x}Se . Heat capacities and thermodynamic properties of 10 samples in the range 300 to about 750 K. «J. Chem. Thermodyn.», 1975, 7, № 7, 617—632 (англ.)

(C_p , ΔH_f , ΔS_f)

В адиабатич. калориметре в интервале т-р 300—750° К измерена теплоемкость 10 образцов Ni_{1-x}Se с $(1-x) = 0,925; 0,90; 0,889; 0,861; 0,85; 0,8375; 0,825; 0,8125; 0,775$ и $0,75$. Подъем т-ры калориметра проводился ступенчато с остановками, достаточными для достижения т-рного равновесия. Т-рные зависимости C_p всех образцов имеют λ -образную аномалию, обусловленную разупорядочением вакансий структуры типа NiAs. Характеристики этих превращений заметно различаются у всех образцов, кроме двух последних, т. к. $\text{Ni}_{0,75}\text{Se}$ уже двухфазный образец, но с небольшим кол-вом NiSe_2 как второй фазы. Рассчитаны и табулированы сглаженные значения C_p , а также энтропий и энтальпий всех образцов во всей т-рной области.

Резюме

Х. 1976. № 4

Ni_{1-x}Se

1975

1 E395. Вакансийное разупорядочение в Ni_{1-x}Se. Теплоемкость и термодинамические свойства 10 образцов в интервале 300—750° К. Grønvold Fredrik, Kveseth Nils Jørgen, Sveen Arvid. Vacancy disorder in Ni_{1-x}Se. Heat capacities and thermodynamic properties of 10 samples in the range 300 to about 750K. «J. Chem. Thermodyn.», 1975, 7, № 7, 617—632 (англ.)

(C_P)

В адиабатич. калориметре получены данные для теплоемкости 10 образцов Ni_{1-x}Se при 1—x=0,925; 0,90; 0,889; 0,861; 0,85; 0,8375; 0,825; 0,8125; 0,775 и 0,75. На всех образцах обнаружены резко выраженные λ-аномалии, связанные с разупорядочением. При уменьшении 1—x наблюдается рост т-ры λ-точки, но для двух последних образцов зависимости теплоемкости от т-ры практически совпадают. Приведены расчеты термодинамич. ф-ций исследованных образцов, обсуждается фазовая диаграмма данной системы. В. Е. Зиновьев

Ф 1976 № 1

$Ni_{1-x}Se$

1975

(Cp)

121950g Vacancy disorder in nickel selenide ($Ni_{1-x}Se$). Heat capacities and thermodynamic properties of 10 samples in the range 300 to about 750°K. Groenvold, Fredrik Kveseth, Nils J.; Sveen, Arvid (Kjem. Inst. A, Univ. Oslo, Blindern/Oslo, Norway). *J. Chem. Thermodyn.* 1975, 7(7), 617-32 (Eng). Heat capacities of 10 samples with compn. $Ni_{1-x}Se$ ($1-x = 0.925, 0.90, 0.889, 0.861, 0.85, 0.8375, 0.825, 0.8125, 0.775$, and 0.75) [1314-05-2] were measured from 300 to ~750°K in a calorimeter with adiabatic shields. Elec. energy was supplied step-wise with ample time for temp. equilibration. λ -Type transformation occur in all samples due to vacancy disordering in the NiAs-like structures. The transformation characteristics differ considerably from sample to sample except for $Ni_{0.775}Se$ and $Ni_{0.75}Se$, since the latter is a two-phase sample with small amts. of $NiSe_2$ as the other phase. Entropies and enthalpies have been calcd. and are tabulated for selected temps.

C. A. 1975, 83 w 14

Ni_xSe₂

1975

Groenvald F.

J. Chem. Thermodynamics

(C_p, T 99)

1975, 7 (4), 645-54

(cer. FeSe₂, -)

Ni_xSe_y (cucab)

1975

85: 69177k Thermodynamic properties of nickel-selenium system melts. Feenberg, I. Ya.; Baisburd, S. E. (USSR). V sb., *Termodinam. Svoistva Metal. Splavov* 1975, 395-8 (Russ.). From Ref. Zh., Khim. 1976, Abstr. No. 9B865. Title only translated.

(in-g. el-la)

c. A. 1976. 85 NCO

Ni-Se-O pag. gears.

1975

NiSeO

84: 112343e Diagram of nickel-selenium-oxygen in partial pressure coordinates. Peshlkin, A. S.; Sozinova, S. A.; Bakeeva, S. S. (Nauch. Inst. Elektron. Tekhn., Moscow, USSR); Izv. Vyssh. Uchebn. Zavoda Khim. Khim. Tekhnol., 1975, 18(11), 1823 (Russ). Addnl. data considered in abstracting and indexing are available from a source cited in the original document. A portion of the Ni-Se-O phase diagram with coordinates log P_{O_2} -log P_{SeO} at 900°K was constructed from new thermodynamic data for the phase $\text{NiSe}_{0.75}\text{O}_{1.25}$. (C. E. Stevenson)

(M. G. Geil
place.)

+1



C&H 1976.84 n16

Ni_xSe_x

1975

Д 4 Б881. Термодинамические свойства сплавов в системе никель — селен. Sheveleva S. N., Gerasimov Ja. I., Lazarev V. B., Geiderich V. A. Thermodynamic properties of alloys in system nickel-selenium. «4ème Conf. int. thermodyn. chim., Montpellier, 1975. Vol. 3.» S. l., s. a., 44 (англ.)

Измерений э. д. с. гальванич. ячейки Ni(тв.) | KCl + + LiCl + 0,5 вес. % NiCl₂ (расплав) | Ni_xSe_{1-x}(тв.) в интервале т-р 633—829 К определены термодинамич. свойства сплавов Ni—Se (38,0—49,2 ат. % Ni), включающих область гомогенности и двухфазную область γ + NiSe₂. Результаты использованы для анализа распределения дефектов в решетке γ-фазы. Сделан вывод об упорядочении дефектов вблизи конц-ии 46,7 ат. % Ni. Результаты хорошо согласуются с известными структурными данными.

А. Кисилевский

Х. 1887
N4

Ni Se_{1.05})
Ni Se_{1.43}
Ni Se_{1.15} }
Ni Se₂

1972

Bauer J, et al.

D. II; p. 469-472.

298-1100

298-1000

298-1100

298-900



(acc. Ag-I)

Wi Sex

1977

Мордовия И.Н. и др.

"Химия и ген химико-генетик
ищ, Нануа геном." 1977, 52-54

SH

(cont. Co Sex ; i)

NiSe
CoSe

(+1)

бассейн

1978

7 E891. Нестехиометрия в фазах β -NiSe и γ -CoSe: распределение дефицита d -электронов. Sergelier O., Nonstoechiométric dans les phases β -NiSe et γ -CoSe: Répartition du déficit des électrons d . «J. Solid State Chem.», 1978, 23, № 1—2, 141—146 (франц.; рез. англ.)

Теоретически в рамках гипотезы о существовании единственного вида дефектов — вакансий на месте металлических атомов исследован вопрос о распределении дефицита d -электронов переходных металлов в нестехиометрическом соединении β -NiSe и γ -CoSe. Показано, что дефицит d -электронов не распределен статистически по всему ансамблю атомов металла, а связан лишь с некоторыми атомами. Для справедливости этого вывода концентрация вакансий металла должна быть достаточно высока, чтобы можно было пренебречь другими дефектами, но в то же время не слишком велика, чтобы исключить возможность взаимодействия между ними.

А. И. Коломийцев

ф. 1978
н/г

1978

NiSe

Tet
на/гексаго-
рессажка

15 Б1017. Изучение фаз в тонких пленках NiSe.
 Singh A. K., Srivastava M. M., Srivastava O. N. Studies of thin film phases of NiSe. «J. Less—Common Metals», 1978, 57, № 2, 225—227 (англ.)

Методом электронной микроскопии исследованы фазовые превращения в Пл NiSe (I), толщиной 300—500 Å, полученных напылением Se и Ni в вакууме. Найдено, что микроструктура свеженапыленных Пл гомогенна; они не содержат ни Ni, ни Se и состоят из гексагон. фазы I с параметрами $a=3,71$, $c=5,40$ Å, структура типа NiAs. Пл отжигались непосредственно при изучении в электронном микроскопе; изучение Пл, отожженных при 150° показало необратимое превращение гексагон. фазы I в ромбич. фазу, $a=6,26$, $b=3,71$, $c=10,80$ Å. Ромбич. фаза при 250° претерпевает необратимое превращение в фазу с примитивной кубич. решеткой, $a=4,30$ Å. Графически представлена т-риая зависимость электросопротивления Пл; изменения сопротивления наблюдались практически при тех же т-рах, при которых происходили структурные превращения.

И. Н. Один

x, 1948, N15

1980

NiSe

(Tet)

195: 50299m Nature of a chemical interaction in a gallium selenide-nickel selenide (Ga_2Se_3 -NiSe) system. Babaeva, P. K.; Allazov, M. P.; Rustamov, P. G. (USSR). *Issled. Obl. Neorg. Fiz. Khim.* 1980, 73-8 (Russ). Phase equil. were studied by DTA, microhardness, microstructural, and x-ray phase anal. methods and the phase diagram was constructed. A monotectic region extends from 10-90 mol% NiSe > 980°. A eutectic occurs at 980° and NiSe 92 mol%. The polymorphic transition β -NiSe \rightarrow γ -NiSe occurs at 760°.

C. A. 1981, 95 N6.

NiSe₂

2001

F: GeTe-NiSe₂
P: 1

NiSe₂

02.16-19Б3.79. Физико-химические и физические свойства
системы GeTe-NiSe[GeTe-NiSe[2] sisteminin fiziki-
kimyazi və fiziki xassələri / Məmmədov F. Əlicanov M. Ə.
// 7 Республикаанская научная конференция "Физико-
химически анализ и неорганическое материаловедение",
Баку, 21-23 мая, 2001 : Сборни статей. - Баку, 2001. -
С. 257-260. - Азерб. Библ. 5.